

**ALBUM FOTOGRAFICO
HOJA DE REMOLINOS**

27-13

322

JUNIO/91

FOTO 1. 27-13 G.S.- O.S. 9601. Cuerpos areniscosos intercalados entre arcillas, con estratificación cruzada.
Arroyo de Val de Herrera. Aragoniense-Vallesiense. Unidad informal de Alcubierre.

FOTO 2. 27-13 G.S.- O.S. 9602. Cuerpos areniscosos, intercalados entre arcillas, con estratificación cruzada.
Arroyo de Val de Herrera. Aragoniense-Vallesiense. Unidad informal de Alcubierre.

FOTO 3. 27-13 G.S.- O.S. 9603. Alternancia de arcillas con nódulos de yeso, y de yesos estratiformes. Margen de la acequia principal de Sora. Aragoniense-Vallesiense. Unidad informal de Alcubierre.

FOTO 4. 27-13 G.S.- O.S. 9604. Alternancia de arcillas con nódulos de yeso, y de yesos estratiformes. Margen de la Acequia Principal de Sora. Aragoniense-Vallesiense. Unidad informal de Alcubierre.

FOTO 5. 27-13 G.S.- O.S. 9605. Vista general de los relieves más altos de la Sierra de Castejón de Valdejasa. Las zonas con escarpe más fuerte son calizas, los más suaves son arcillas con yesos. Aragoniense-Vallesiense. Unidad informal de Alcubierre.

FOTO 6. 27-13 G.S.- O.S. 9606. Vista general de la Sierra de Castejón de Valdejasa. Al fondo, la depresión por donde se desplaza el río Ebro.

FOTO 7. 27-13 G.S.- O.S. 9607. Perspectiva de la Sierra de Castejón de Valdejasa formada por calizas, arcillas y yesos, desde el arroyo de Val de Herrera, el cual constituye un típico "vale".

FOTO 8. 27-13 G.S.- O.S. 9608. Amalgama de cuerpos tabulares y ondulados de litología calcárea, en los cuales se observa bioturbación producida por raíces. Aragoniense-Vallesiense. Unidad informal de Alcubierre.

FOTO 9. 27-13 G.S.- O.S. 9609. Aspecto de la Sierra de Castejón de Valdejasa, en las proximidades del pueblo de igual nombre.

FOTO 10. 27-13 G.S.- A.V. 9610. Serie Puipinos (Valle entre Valdemanzana y Puipinos). Unidad Rosel. Lutitas pardo-verdosas con grietas de desecación llenas de yesos (vista en planta).

FOTO 11. 27-13 G.S.-A.V. 9611. Área de Puntaza-La Atalaya vista desde la pista que lleva a Puntaza desde el SE desde el límite con la hoja de Alagón. Se observan, de base a techo, yesos de la Unidad Rosel. Posteriormente, el tramo inferior de la subunidad inferior de Alcubierre, presentando dos niveles lutíticos rojizos y dos niveles de margas con yeso nodular-tabular. Por encima, el tramo superior de esta unidad con yeso tabular y calcisiltitas hasta la base de la Atalaya. Por encima, la subunidad superior de Alcubierre (foto de detalle nº 37)

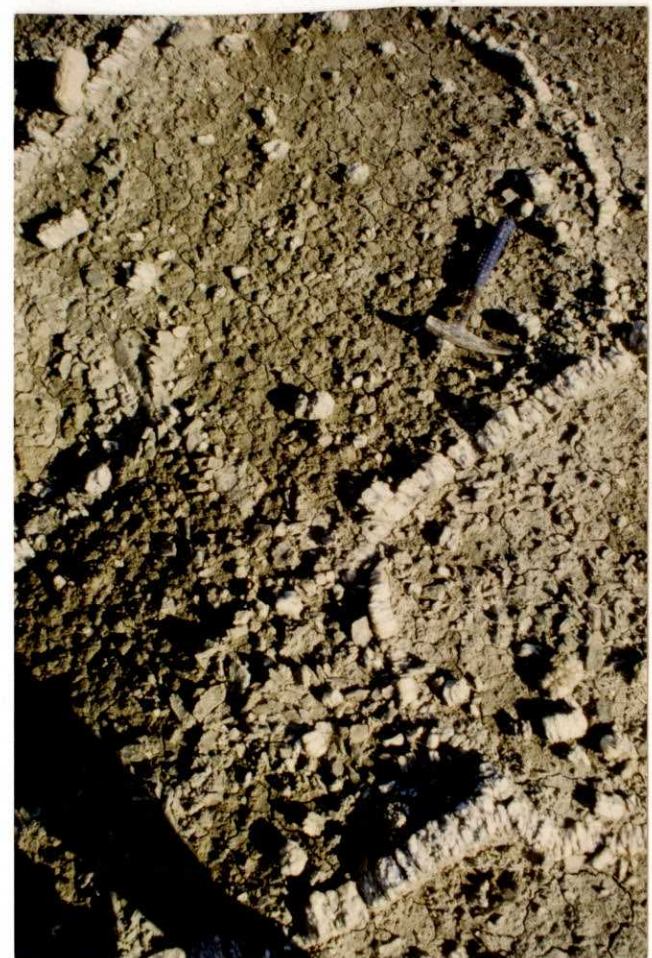
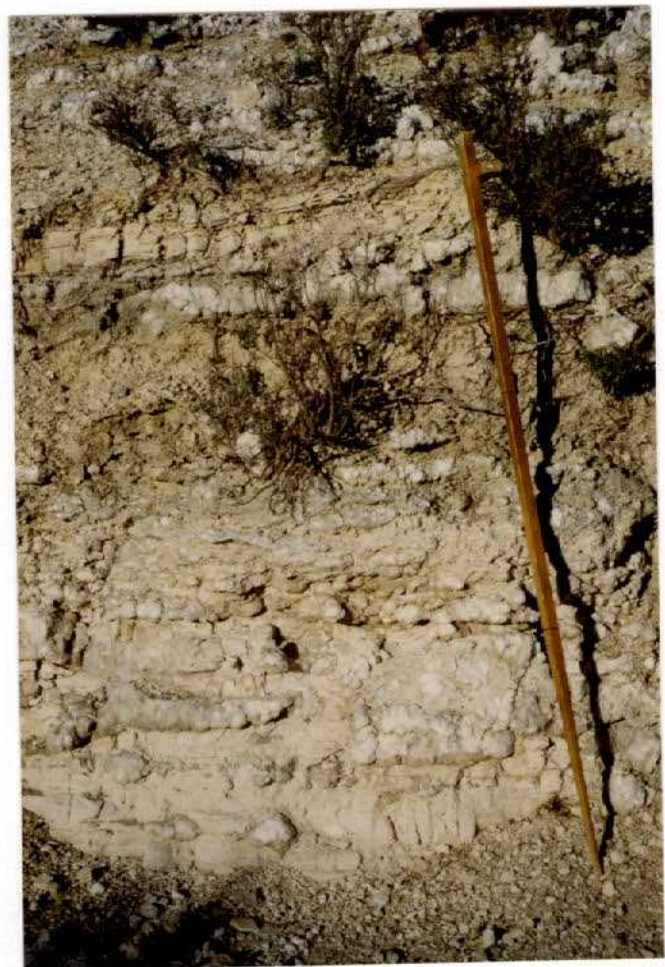


FOTO 12. 27-13 G.S.- A.V. 9612. Serie Los Talegos. Depósito de lago salino. Calcisiltita con yeso modular. El crecimiento de nódulos llega a formar yeso tabular. Además presenta intercalaciones margosas. Escala 1'5 m.



12

FOTO 13. 27-13 G.S.- A.V. 9613. Vista desde el SW del afloramiento de Pogallinero. Se observan los dos grupos superiores de arcillas rojas y las margas con yeso nodular, calizas y margas de la subunidad inferior de la Unidad Alcubierre.

FOTO 14. 27-13 G.S.- A.V. 9614. Nivel lutítico pardo-rojizo en la serie de Remolinos-Purasal (Barranco de las Salinas). Se observan moldes de critales en tolvas (ver figura 1).

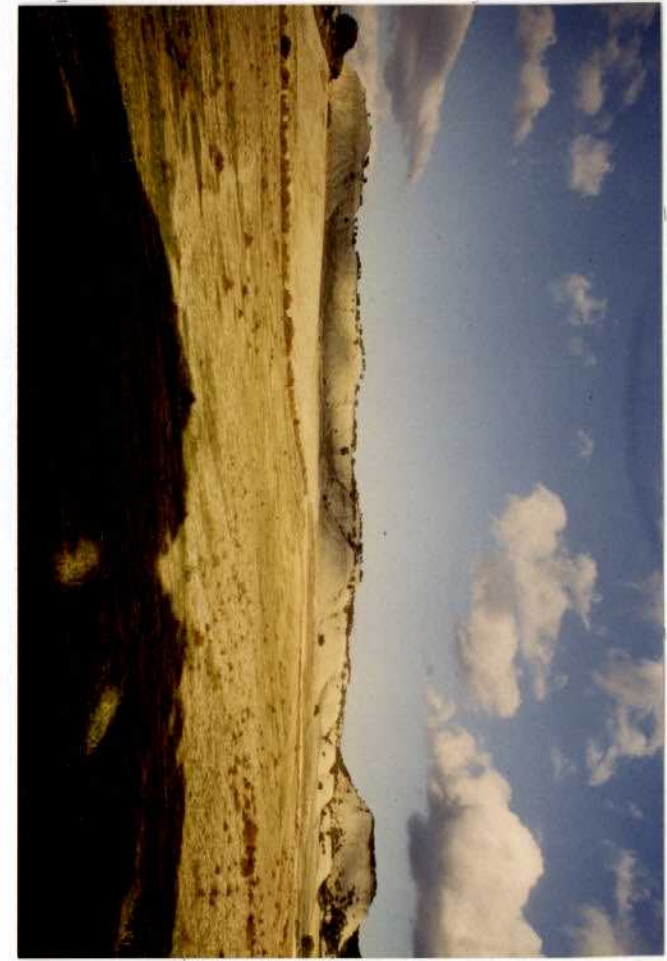


FOTO 15. 27-13 G.S.- A.V. 9615. Serie Los Talegos. Margas, calcisiltita y margas con yeso nodular. Escala 1'5 m.



FOTO 16. 27-13 G.S.- A.V. 9616. Afloramiento de Puntaza visto desde Los Balsetes. Las capas inferiores están formadas por yeso tabular y calcisiltita, techo del tramo superior de la Unidad Alcubierre 1 (ver figura 3, serie Atalaya). Por encima, un nivel margoso con capas de calizas disponiéndose en slump (ver figura 4, serie Puntaza). Por encima, alternancia de margas y calizas sin deformar lo que indica un origen sinsedimentario de este horizonte deformado.

FOTO 17. 27-13 G.S.- A.V. 9617. Niveles de calcisiltita de la Unidad Alcubierre en la carretera Castejón de Valdejasa a Esteban. Debido a la silicificación se conserva muy bien estructuras de wavy ripples. También aparecen nódulos de anhidrita.

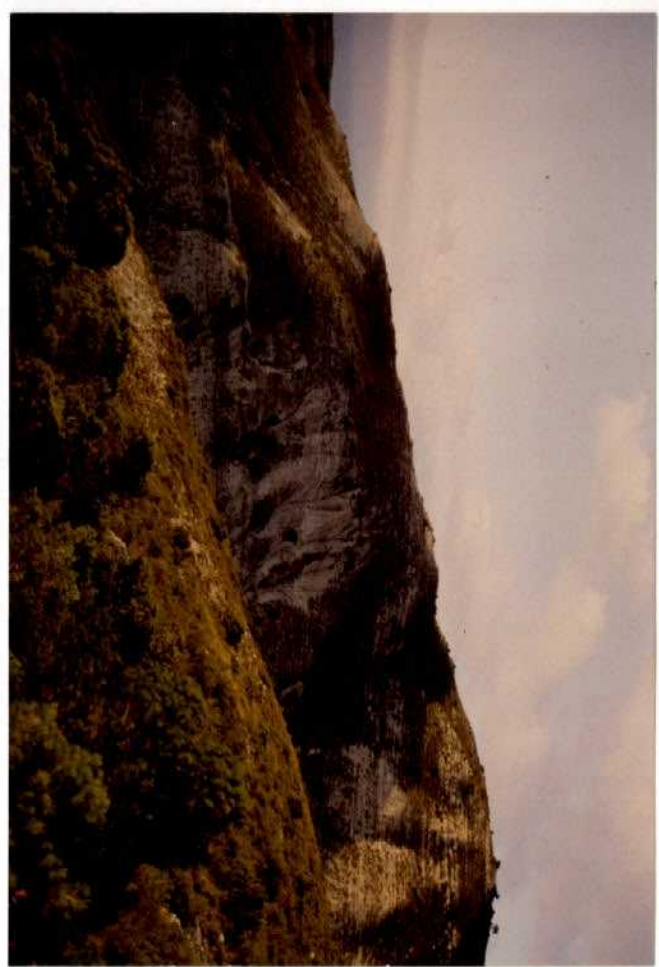


FOTO 18. 27-13 G.S.- A.V. 9618. Foto desde Puntaza hacia el NW. Se observan principalmente los yesos tabulares de la parte superior de la subunidad inferior de Alcubierre. Se observa muy bien la incisión de los barrancos (ver foto 13).

FOTO 19. 27-13 G.S.- A.V. 9619. Puipinos desde el área de las Parideras de Diego. Se observa las alternancias de margas y calcisiltita con margas de la Unidad Rosel. Por debajo, ya en los campos de cultivo, se encuentran las lutitas rojas con paleocanales del tramo inferior de esta unidad.

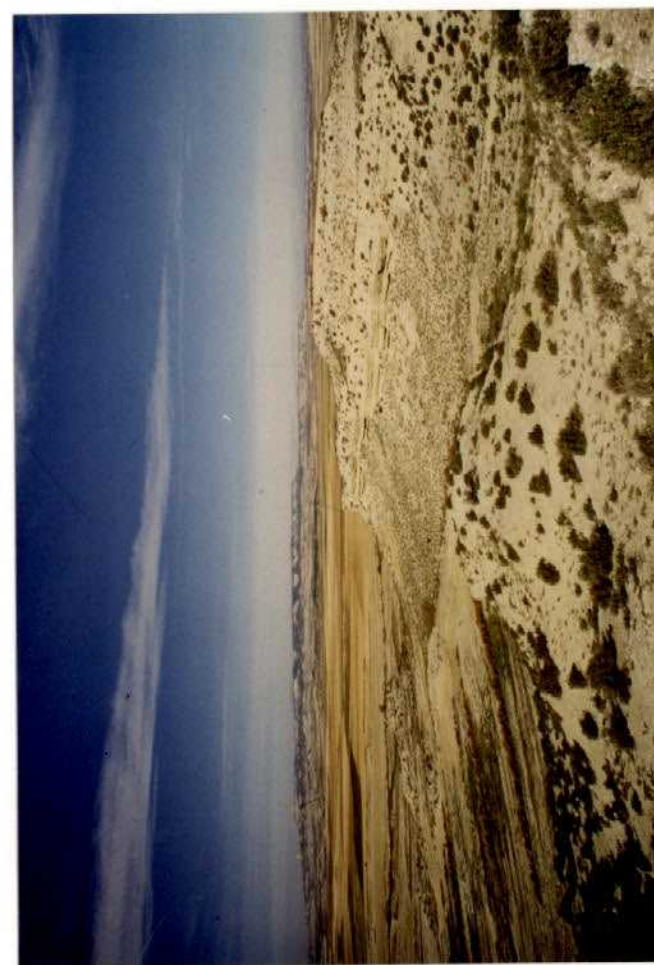
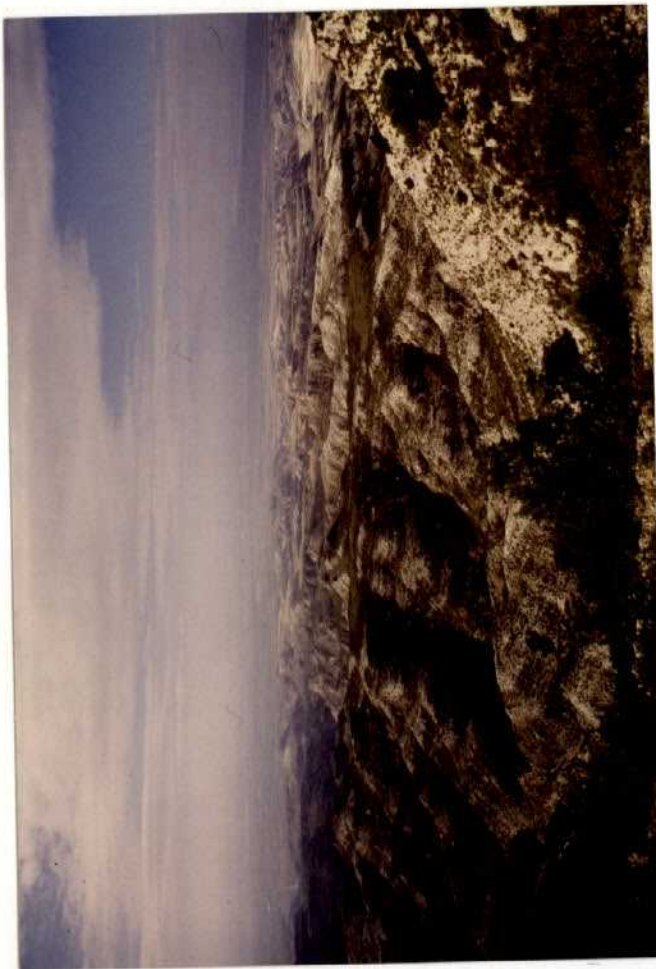


FOTO 20 27-13 G.S.- A.V. 9620. Serie Las Fuesas, vista hacia el N; casi en el horizonte se ve el Monte de Sora, ya en la hoja de Ejea de los Caballeros. Se observa muy bien el buzamiento hacia W-NW. Las capas inferiores muestran el último nivel arcilloso rojo de la subunidad inferior de Acubierre (Formación yesos Atalaya QUIRANTES 1971). En la parte superior de la cresta se observan las margas y calizas margosas de la subunidad superior de la Unidad Alcubierre.

FOTO 21. 27-13 G.S.- A.V. 9621. Área de Puntaza. Afloramiento espectacular, desde el S, donde se puede observar de base a techo: yesos, techo de la Unidad Rosel. Superficie neta con nivel rojo, base de U. Alcubierre 1. Dentro de esta unidad aparece un nivel de yesos, otro de lutitas rojas y una potente serie de yesos (Yesos de la Atalaya). Posteriormente otro contacto neto, por encima del cual afloran las margas, el nivel de slump y las calizas y margas superiores de la U. Alcubierre 2 (ver fotos 9602 y 9607).

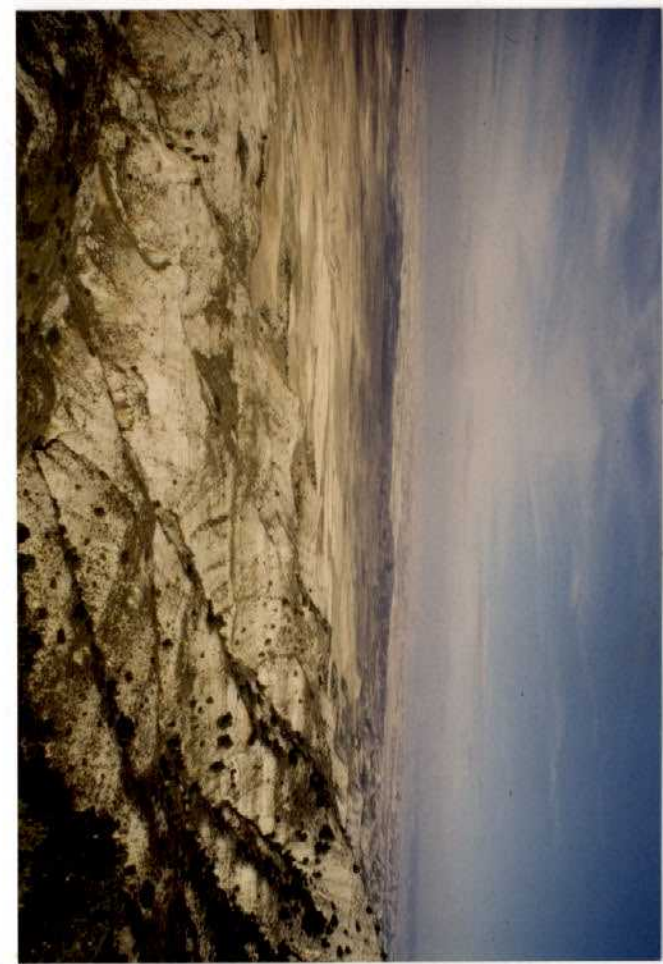


FOTO 22. 27-13 G.S.- A.V. 9622. Carretera Castejón de Valdejasa al alto de Esteban. Alternancia de calcisiltita (colores pardo-amarillentos) y niveles bioturbados de dolomícritas oscuras con trazas de raíces. Unidad Alcubierre.

FOTO 23. 27-13 G.S.- A.V. 9623. Carretera Castejón de Valdejasa al alto de Esteban. Se observan margas a la base y calizas fétidas con estromatolitos y porosidad móldica. Unidad Alcubierre.



FOTO 24. 27-13 G.S.- A.V. 9624. Corte del Canal de Tauste a la altura de la Paridera del Cucho. Se observan margas verdes, calcisiltita y yeso tabular con deformaciones (Alcubierre 1). Existe la posibilidad de que sean niveles de "slump", ya que la serie inferior (Las Fuesas) y superior (La Gabardilla) se encuentran subhorizontales.

FOTO 25. 27-13 G.S.- A.V. 9625. Vista del pueblo de Remolinos desde el S. De base a techo, yesos de la Unidad Zuera, nivel arcilloso rojo de la Unidad Rosel; al techo de este nivel, a la derecha, está la ermita del Cristo de la Cueva. Por encima tenemos una alternancia de yesos co calcisiltita de la Unidad Rosel. Al fondo, el resto de la serie Puntaza (explicada en fotos 2, 7, y 13).



FOTO 26. 27-13 G.S.- A.V. 9626. Derrubio de las explotaciones de sal de la Mira Real (Remolinos). Presentan grandes cristales de halita con diastemas pelíticas. Estas diastemas presentan micronódulos de anhidrita nodular. ORTI y PUEYO (1977), estudian en detalle estos niveles.



FOTO 27. 27-13 G.S.- A.V. 9627. Afloramiento de típicas facies de la formación Castellar (Alcubierre), en la carretera que va desde Castejón a Vilanueva de Gállego. Presentan una serie de ciclos somerizantes a la base, presentando wave ripples, dolomicritas oscuras con nódulos de silex y niveles edafizados en el techo. En ocasiones, estos niveles presentan horizontes con caliche nodular.

FOTO 28. 27-13 G.S.- A.V. 9628. Afloramiento de la serie Puipinos (Unida Rosel). De base a techo: arcillas rojas con grietas de desecación llenas se yeso, relleno de paleocanales con acreciones (hacia la derecha de la foto, barras de meandro), y por encima una serie margocarbonatada con aparición de carbonatos tabulares en el techo de la colina.

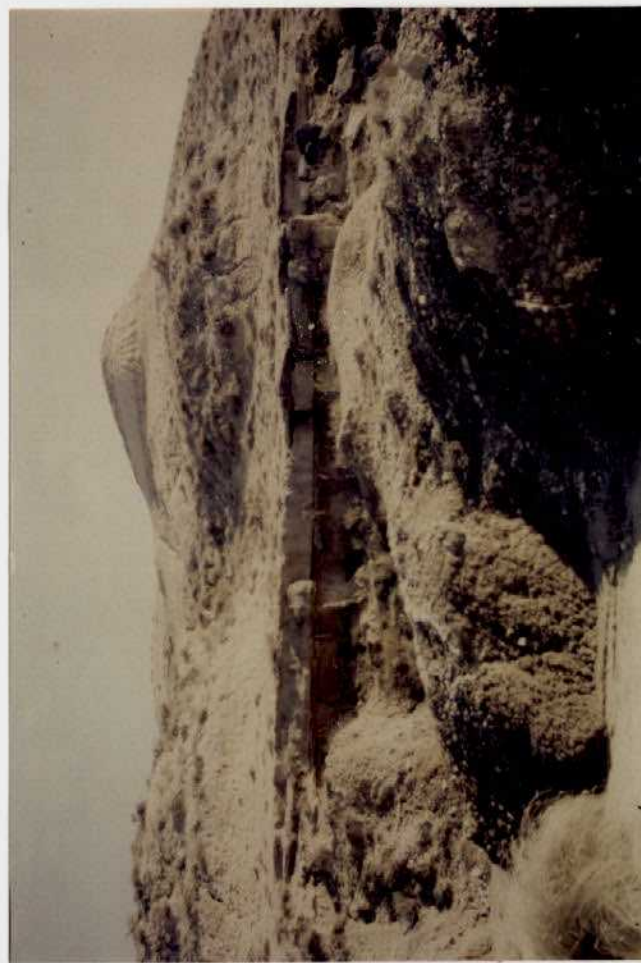


FOTO 29. 27-13 G.S.- A.V. 9629. Afloramiento basal del barranco de las Salinas. Se observan las alternancias de yeso nodular-pseudotabular con calcisiltita y margas de la Unidad Zuera.



FOTO 30. 27-13 G.S.- A.V. 9630. Nivel de calcisiltitas de la Unidad Alcubierre en la carretera desde Castejón de Valdejasa a Esteban. Debido a las silificaciones, se conservan muy bien las estructuras sedimentarias, en este caso, wavy ripples (comparar con la foto 9617).

FOTO 31. 27-13 G.S.- A.V. 9631. Detalle de la foto 9611 (área de Puntaza-La Atalaya vista desde el SE) donde se observa de base a techo: yesos de la Unidad Rosel, tramo inferior de la subunidad inferior de Alcubierre (dos niveles lutíticos rojos y dos niveles de margas con yesos nodular-tabular).



FOTO 32. 27-13 G.S.- A.V. 9632. Área de las Puntas del Vasallo. Se observan dos niveles rojizos entre margas y calizas con yeso nodular de la Unidad Alcubierre 1 (correspondientes a los niveles rojos del Castillo de la Sora en la hoja de Ejea de los Caballeros). Por encima (zona boscosa) se encuentran las alternancias de margas y calizas margosas de la subunidad superior de la Unidad Alcubierre.

FOTO 33. 27-13 G.S.- A.V. 9633. Afloramiento de margas occidentales de la acequia principal de Sora cerca de Castejona. Se observan alternancia de margas, calcisiltitas y yeso nodular de los niveles basales de la Unidad Alcubierre. Una observación detallada de esta foto, revela una ligera deformación de los sedimentos. Comparar co la foto 9624.



FOTO 34. 27-13 G.S.- A.V. 9634. Panorámica del área de Puntaza donde se observa la estructura anticlinal de esta zona.

FOTO 35. 27-13 G.S.- A.V. 9635. Área de Puipinos donde se observa el tramo superior de la Unidad Rosel, margocarbonatada.

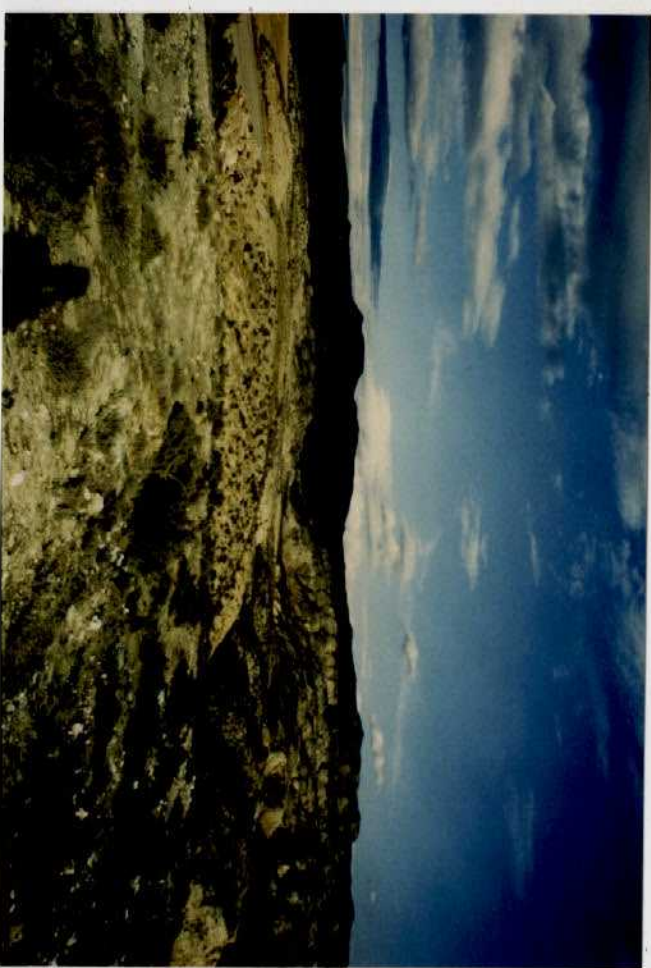


FOTO 36. 27-13 G.S.- A.O. 9636. Depósito de glacis alto sobre arcillas terciarias. Caseta de Ignacio Murillo.

FOTO 37. 27-13 G.S.- A.O. 9637. Glacis erosivo sobre carbonatos terciarios. Carretera de Zuera Km. 18.

*SIN UBICACIÓN EN EL PLANO DE SITUACIÓN DE NUESTRAS,
NI FICHAS HCC1

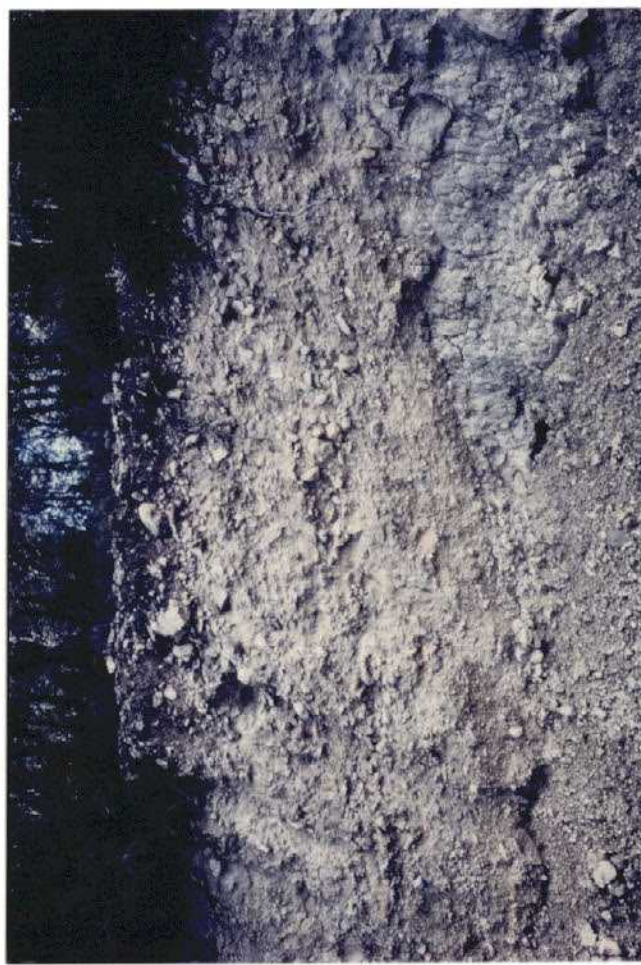
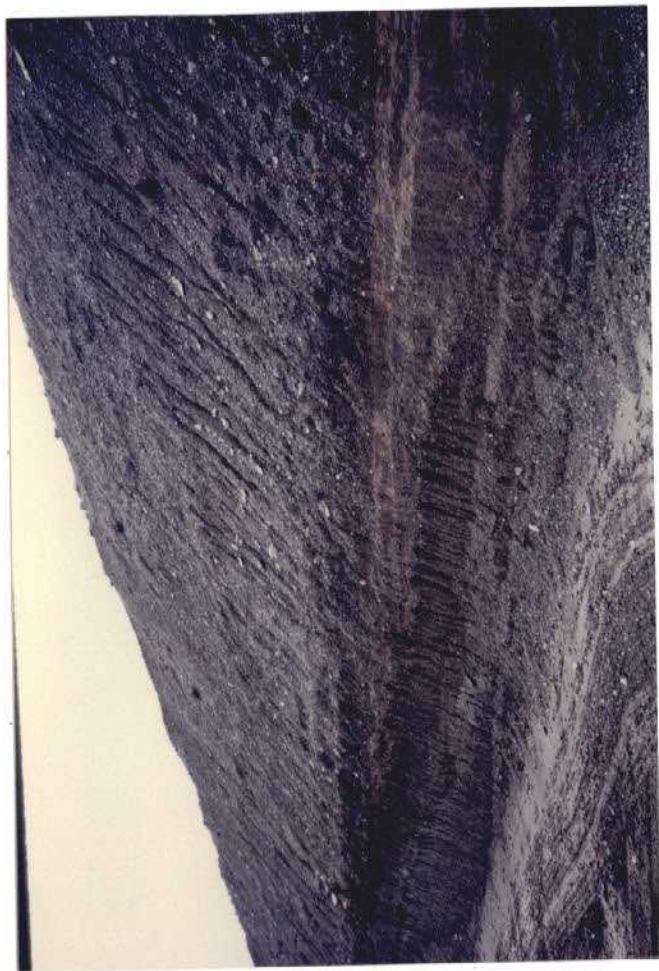


FOTO 38. 27-13 G.S.- A.O. 9638. Glacis erosivo sobre carbonatos terciarios. Carretera de Zuera Km. 12.500.

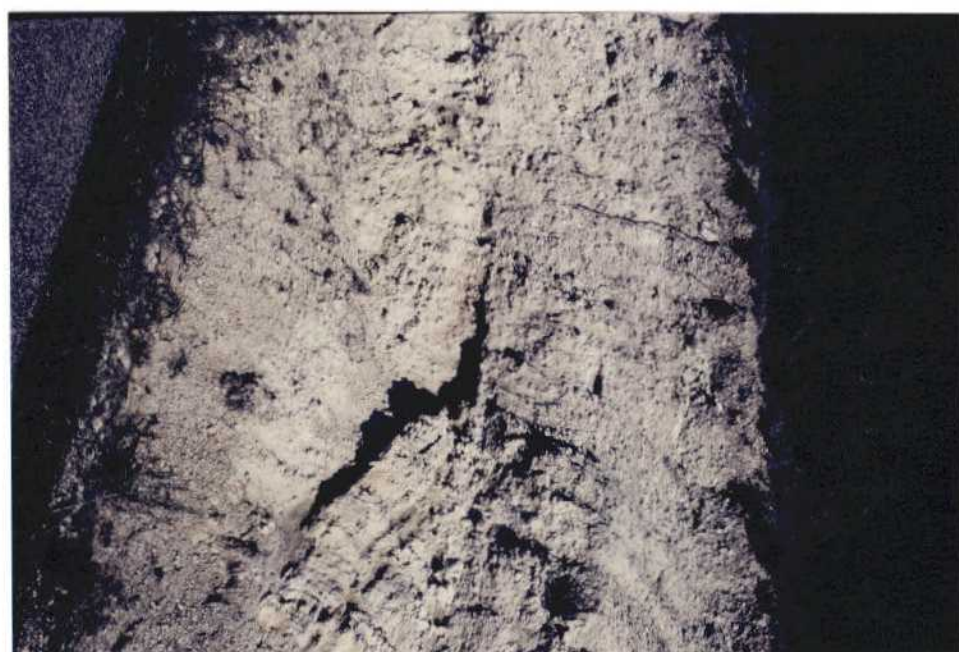


FOTO 39. 27-13 G.S.- A.O. 9639. Depósito de glacis acumulado en ladera. Carretera de Zuera Km. 23.

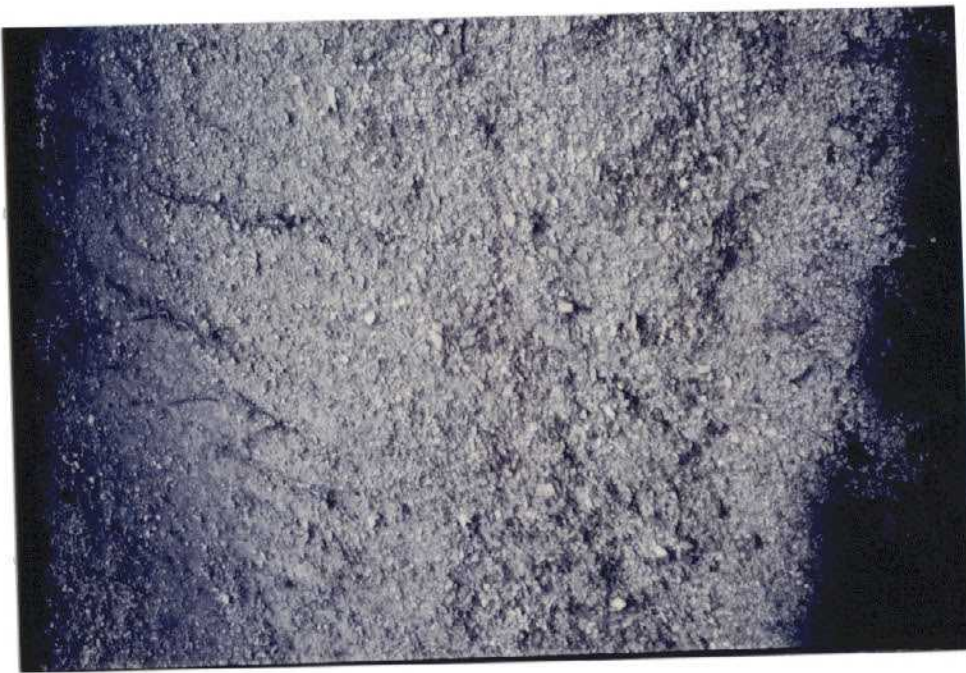


FOTO 40. 27-13 G.S.- A.O. 9640. Fondo de "Val" junto a Castejón.

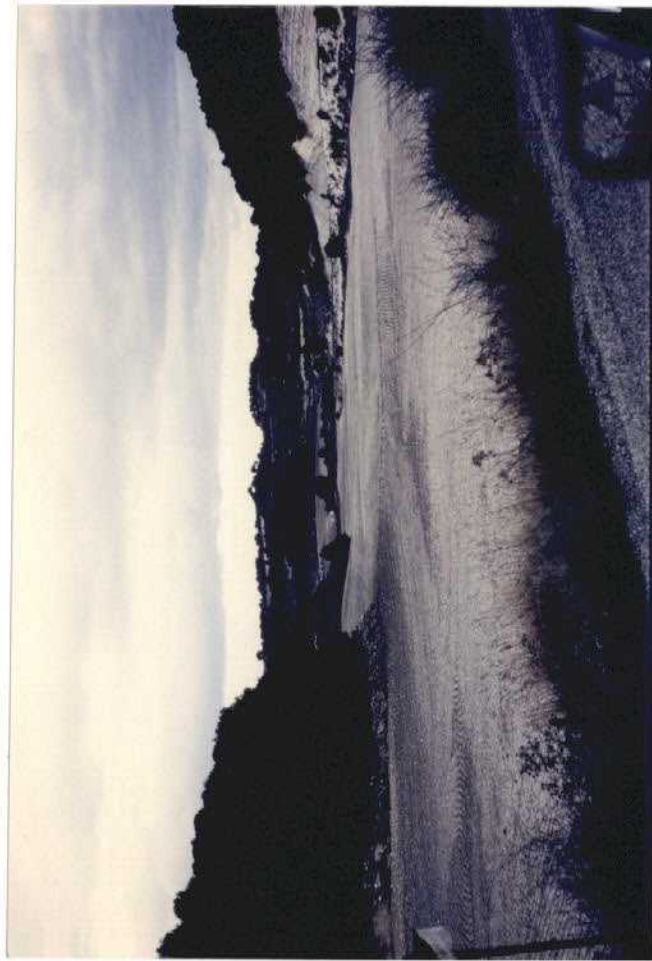


FOTO 41. 27-13 G.S.- A.O. 9641. Incisión lineal sobre el aluvial del Bº de Valdelahiguera.



























